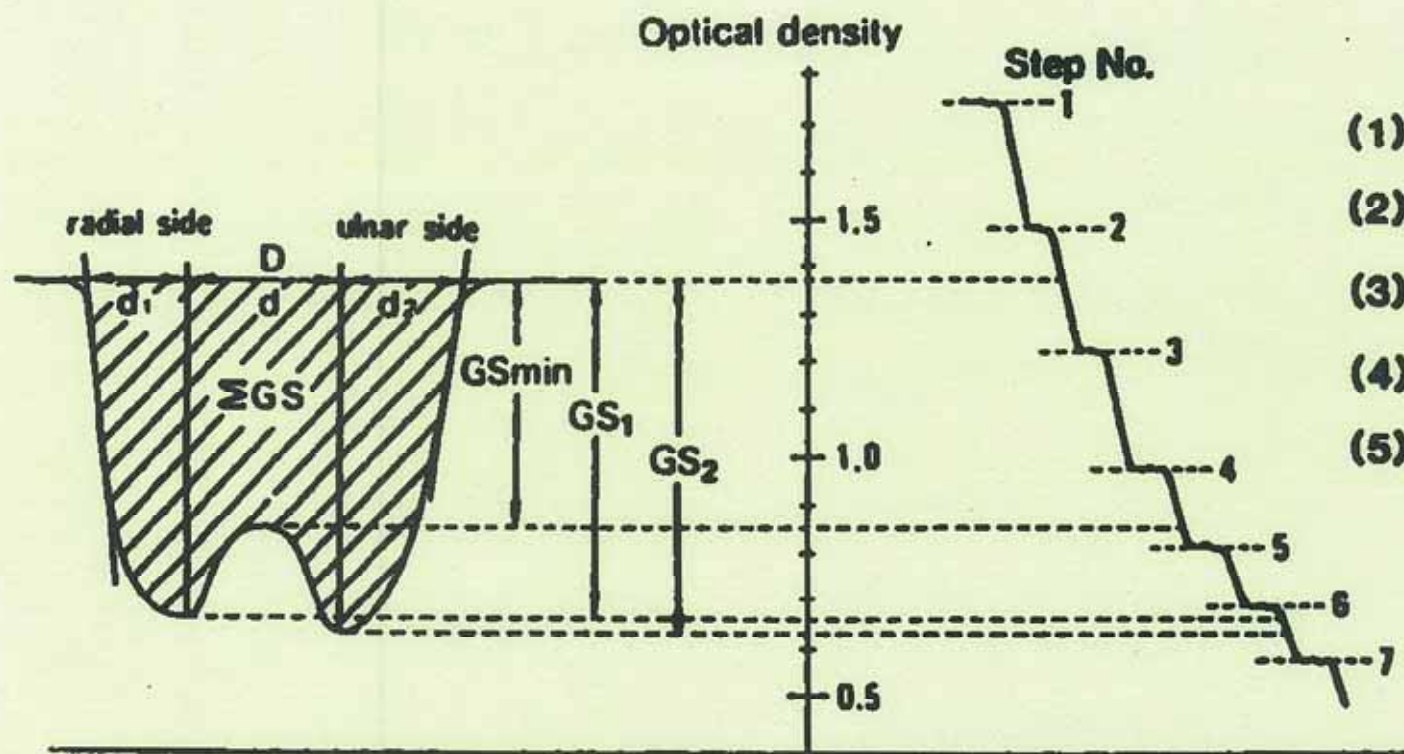


### **III. Cadmium induced bone effects**

## Densitometer chart



$$(1): MCI = \frac{d_1 + d_2}{D}$$

(2):  $d$

(3):  $GS_{min}$

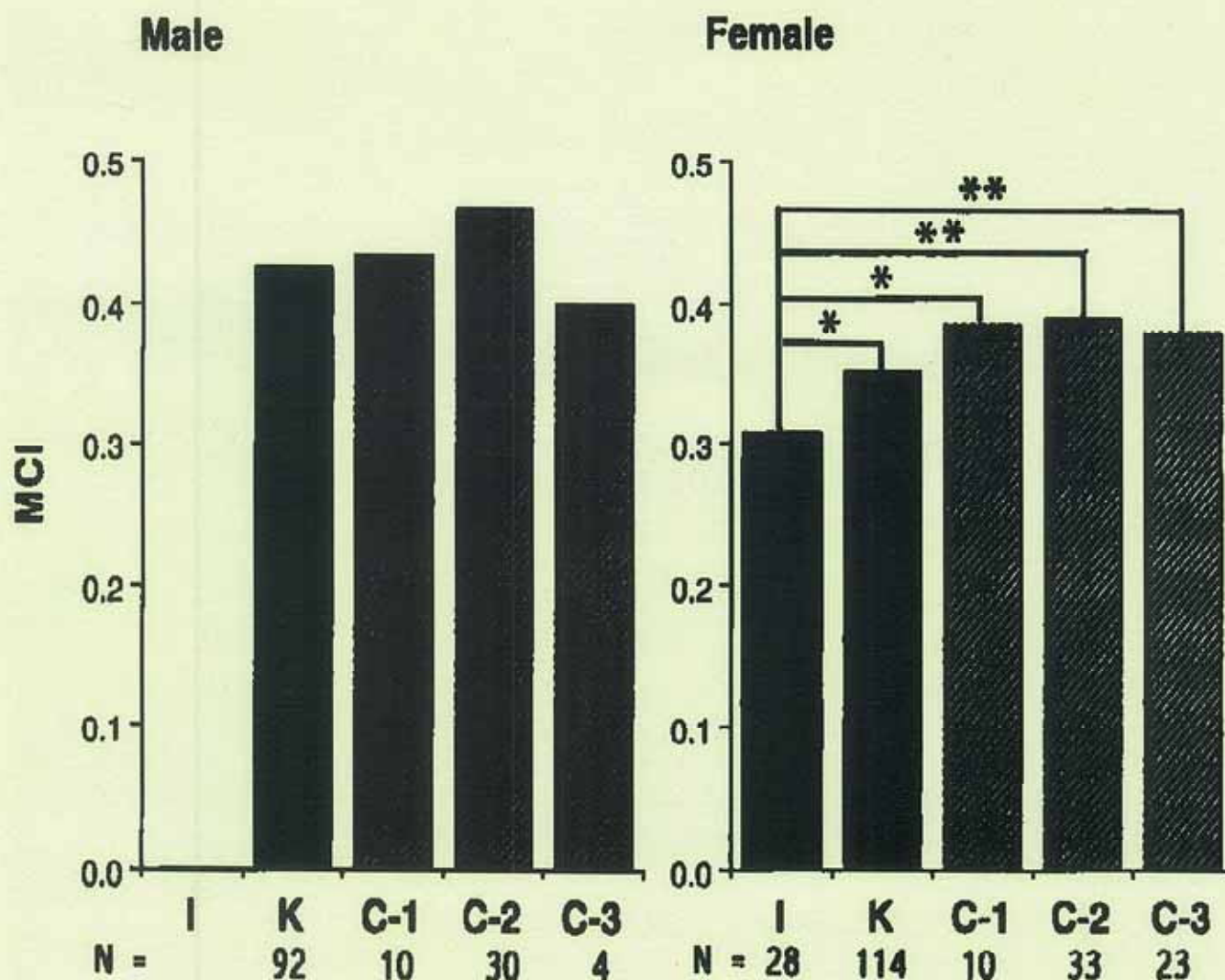
$$(4): GS_{max} = \frac{GS_1 + GS_2}{2}$$

(5):  $\Sigma GS / D$

## Number of subjects examined

|            |     | Male | Female |
|------------|-----|------|--------|
| Cd-exposed | I   | -    | 28     |
|            | K   | 92   | 114    |
| Nonexposed | C-1 | 10   | 10     |
|            | C-2 | 30   | 33     |
|            | C-3 | 4    | 23     |

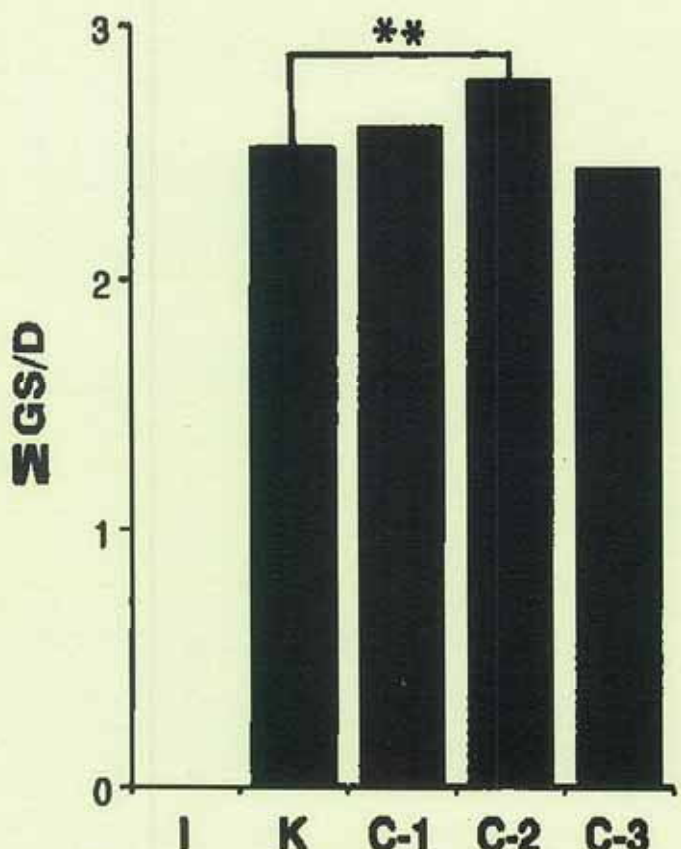
## Microdensitometry indicators in itai-itai disease patients, Cd-exposed and nonexposed subjects



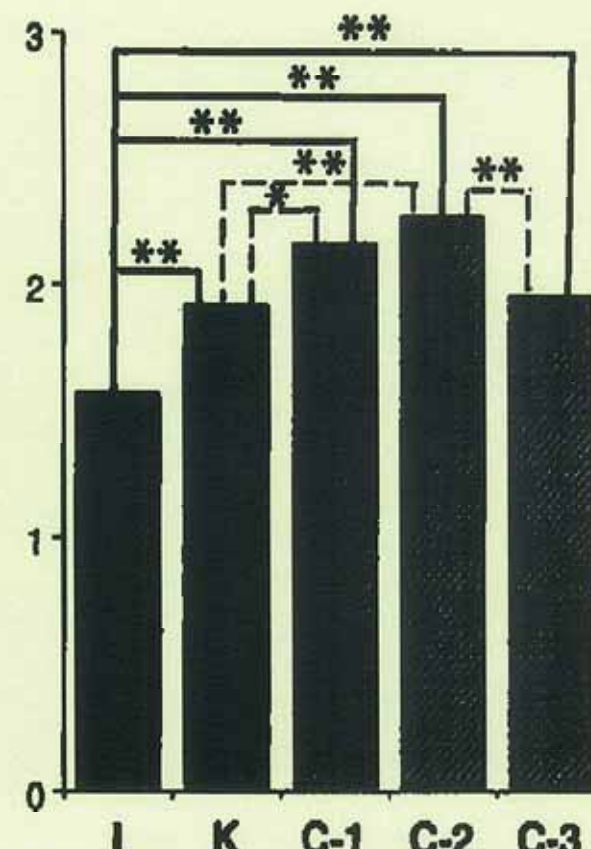
Notes: Geometric mean. I; Itai-itai disease patients, K; inhabitants in the Cd-polluted Kakehashi River basin, C; nonexposed subjects in three different non-polluted areas. \*; $P<0.05$  \*\*; $P<0.01$

Microdensitometry indicators in itai-itai disease patients, Cd-exposed and nonexposed subjects

Male



Female



N = 92      N = 28  
Notes: Geometric mean. I;Itai-itai disease patients, K;inhabitants  
in the Cd-polluted Kakehashi River basin, C;nonexposed subjects in  
three different non-polluted areas. \*; $P < 0.05$  \*\*; $P < 0.01$ .

Biological parameters selected by the stepwise backward regression analysis and significance of their standard partial regression coefficients to microdensitometrical indices (Male)

Cd-exposed subjects (N=91)

|                          | MC1        | d          | GSmax      | GSmin      | $\Sigma GS/D$ | Sum of given scores |
|--------------------------|------------|------------|------------|------------|---------------|---------------------|
| Age                      | *          |            |            |            |               | *                   |
| log(U-Cd/Cr)             |            |            |            |            |               |                     |
| log(U- $\beta_2$ -mg/Cr) | **         | **         | *          | **         | **            | **                  |
| log(S-Cr)                | **         | **         | **         | **         | **            | **                  |
| S-Ca                     | *          |            |            |            |               | *                   |
| S-P                      |            |            |            |            |               |                     |
| log(B-Cd)                |            |            |            |            |               |                     |
| R                        | 0.51<br>** | 0.51<br>** | 0.43<br>** | 0.50<br>** | 0.43<br>**    | 0.47<br>**          |

Nonexposed subjects (N=25)

|                          |      |      |      |      |  |      |
|--------------------------|------|------|------|------|--|------|
| Age                      |      |      |      |      |  |      |
| log(U-Cd/Cr)             |      |      | *    |      |  |      |
| log(U- $\beta_2$ -mg/Cr) |      |      |      |      |  |      |
| log(S-Cr)                |      |      |      |      |  |      |
| S-Ca                     | *    |      |      |      |  |      |
| S-P                      |      |      |      |      |  |      |
| log(B-Cd)                |      |      |      |      |  |      |
| R                        | 0.45 | 0.60 | 0.43 | 0.48 |  | 0.41 |

R:Multiple correlation coefficient.

\*:Significant ( $P < 0.05$ ). \*\*:Significant ( $P < 0.01$ ).

Biological parameters selected by the stepwise backward regression analysis and significance of their standard partial regression coefficients to microdensitometrical indices (Female)

Cd-exposed subjects (N=112)

|                          | MC1        | d          | GSmax      | GSmin      | $\bar{x}$ GS/D | Sum of given scores |
|--------------------------|------------|------------|------------|------------|----------------|---------------------|
| Age                      |            |            |            |            |                |                     |
| log(U-Cd/Cr)             |            |            |            |            |                |                     |
| log(U- $\beta_2$ -mg/Cr) | *          | *          | **         | **         | **             | **                  |
| log(S-Cr)                |            |            |            |            |                |                     |
| S-Ca                     |            |            |            |            |                |                     |
| S-P                      |            |            |            |            |                |                     |
| log(B-Cd)                |            |            |            |            |                |                     |
| R                        | 0.53<br>** | 0.42<br>** | 0.35<br>** | 0.49<br>** | 0.44<br>**     | 0.25<br>**          |

Nonexposed subjects (N=55)

|                          |            |           |            |            |            |           |
|--------------------------|------------|-----------|------------|------------|------------|-----------|
| Age                      |            |           |            |            |            |           |
| log(U-Cd/Cr)             |            |           |            |            |            |           |
| log(U- $\beta_2$ -mg/Cr) |            |           |            |            |            |           |
| log(S-Cr)                |            |           | *          |            |            |           |
| S-Ca                     |            |           |            |            |            |           |
| S-P                      |            |           |            |            |            |           |
| log(B-Cd)                |            | #         | *          |            |            |           |
| R                        | 0.41<br>** | 0.37<br>* | 0.37<br>** | 0.54<br>** | 0.46<br>** | 0.38<br>* |

R:Multiple correlation coefficient.

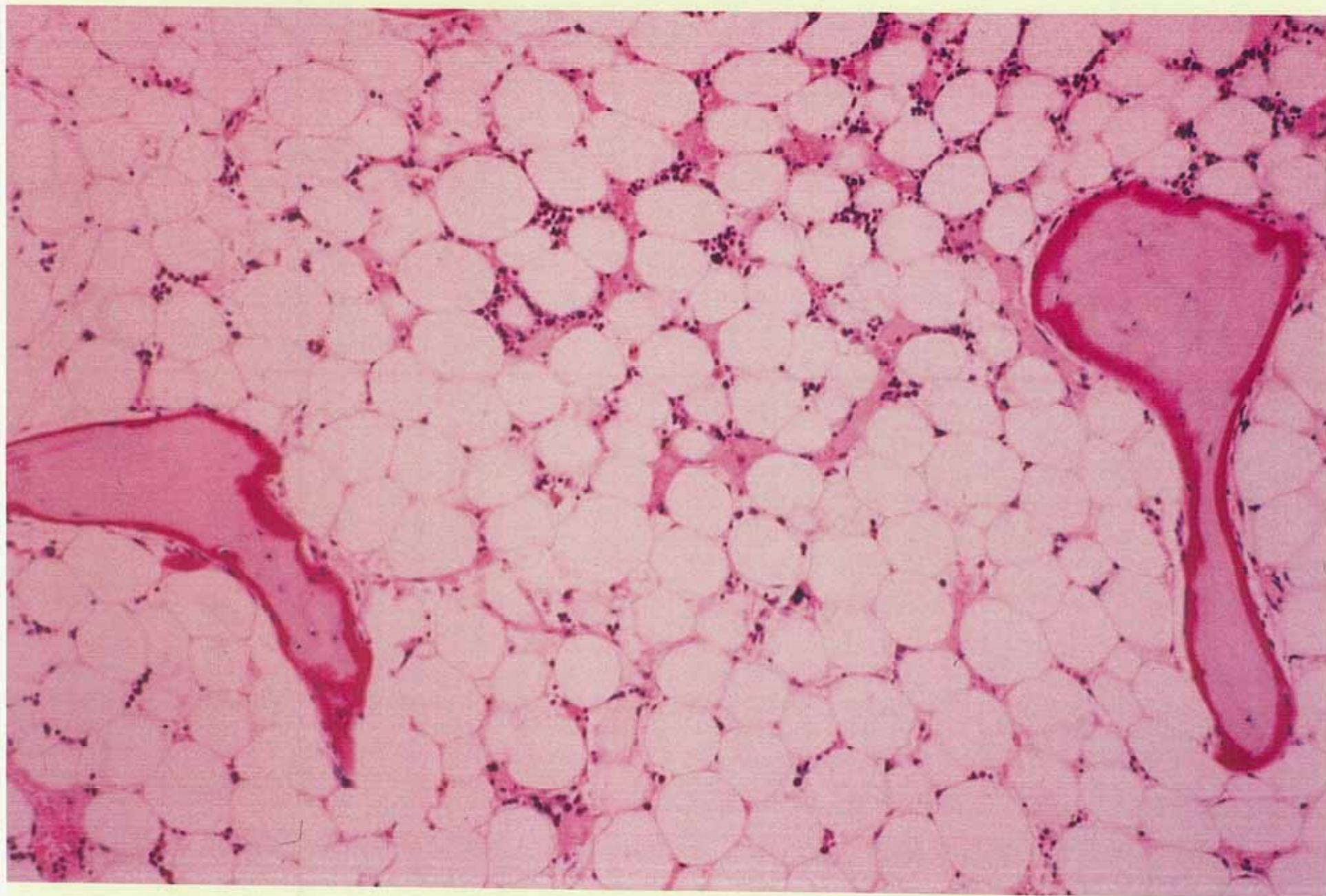
\*:Significant ( $P < 0.05$ ). \*\*: Significant ( $P < 0.01$ ).

**Table 4.—Biological Parameters of the Case Showing Renal Failure**

|   |        |
|---|--------|
| Date of examination                             | 1998   |
| Sex   | Female |
| Age(y)  | 80     |
| Serum creatinine (mg/dl)                        | 4.38   |
| Blood urea nitrogen (mg/dl)                     | 44.8   |
| Red blood cell ( $\times 10^4/\text{mm}^3$ )    | 191    |
| Hemoglobin (g/dl)                               | 6.4    |
| Hematocrit (%)                                  | 20     |
| Urinalysis                                      |        |
| Glucose (mg/g cr)*                              | 9016   |
| Protein (mg/g cr)                               | 1934   |
| $\beta_2$ -microglobulin ( $\mu\text{g/g cr}$ ) | 137892 |
| Retinol binding protein (mg/g cr)               | 167.9  |
| Lysozyme (mg/g cr)                              | 475.7  |
| Cadmium ( $\mu\text{g/g cr}$ )                  | 7.9    |
| Creatinine clearance (ml/min)                   | 10.9   |
| Tubular reabsorptive phosphorus (%)             | 29.9   |

\*g creatinine





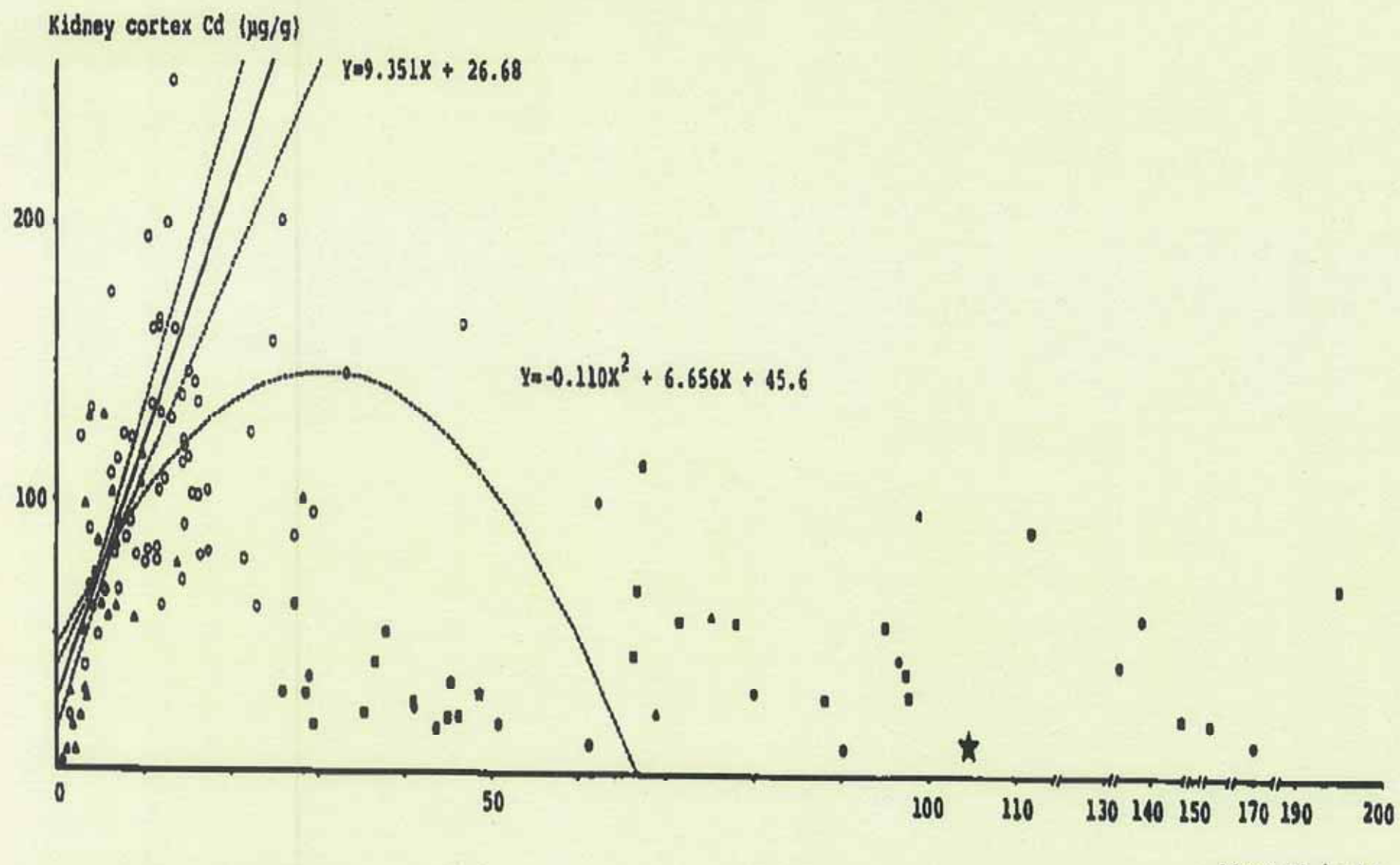


FIG. 1. Cadmium level in kidney cortex as a function of cadmium level in liver for the polluted persons (●, Itai-Itai disease patients; ■, suspected patients; ▲, inhabitants in the Cd-polluted Ichi River basin; ★, inhabitants in the Cd-polluted Jinzu River basin) and the control persons (○, subjects ages over 50; Δ, subjects ages less than 50).

カドミウム暴露中止後18年経過した  
住民の尿中 Type 1 collagen  
cross-linked N-teleopeptides

表志津子、城戸照彦、西条旨子、中川秀昭、  
諏訪園靖、小林悦子、能川浩二、  
金沢大学、金沢医科大学、千葉大学

# 研究の背景

- Cadmiumの慢性暴露による健康影響

石川県梯川流域に発生したカドミウム汚染 (1968年)  
土壌改善後

➤腎尿細管障害を有する住民への骨障害の存在

- Cadmiumと骨障害の関連

➤骨密度と尿中  $\beta$  2-MGに相関

➤非汚染地域に比して骨代謝機能の亢進

(Bone Gla-protein, ALP)

- 骨障害の測定

➤破骨細胞による骨吸収を反映

(Type 1 collagen cross-linked N-teleopeptides (NTx))

# 研究目的

土壤改善後18年経過したCadmium汚染地域に暮らす住民の、慢性Cadmium中毒による骨への影響を、尿中NTxを用いて、汚染地域、非汚染地域の比較により検討

NTx(1992 Hanson):

- 算出されたNTx量は骨吸収面積の増加と相関する
- 骨粗鬆症の診断に有用

# 対象

- 汚染地域(Cd暴露群) 石川県梯川流域  
50歳以上の住民106名  
男性 49名 平均年齢65.2歳  
女性 57名 平均年齢67.1歳
- 非汚染地域(Cd非暴露群) 石川県内  
50歳以上の住民60名  
男性 22名 平均年齢76.5歳  
女性 38名 平均年齢73.7歳

- 二次的骨粗鬆症に関連する疾患・治療なし
- 本人の同意を得て調査を実施
- 1999年12月に調査実施

# 方 法

- ・検診時の早朝尿あるいは午前中の尿を採取
- ・健康影響は尿中物質を指標
- ・採取尿を-20°Cで凍結保存後分析

## 統計学的処理

- ・65歳以上, 65歳未満を分析……年齢影響の排除
- ・汚染地域と非汚染地域 : 65歳以上を比較
- ・汚染地域 :
  - ・指標ごとの相関
  - ・NTxと指標との関連

NTxを従属変数として重回帰分析

- ・SPSS12.0を使用

# 結果

## 暴露群、非暴露群間の比較 -65歳以上-

男性

|                                       | Cd-暴露群 |      |      | 非暴露群 |      |         |
|---------------------------------------|--------|------|------|------|------|---------|
|                                       | N      | Mean | S.D. | N    | Mean | S.D.    |
| Age (year) §                          | 27     | 73.5 | 7.57 | 22   | 76.5 | 5.67    |
| $\beta_2$ -MG ( $\mu\text{g/g cr.}$ ) | 27     | 239  | 17.0 | 22   | 53.4 | 3.58 *  |
| Cd ( $\mu\text{g/g cr.}$ )            | 27     | 4.01 | 1.65 | 22   | 1.84 | 1.56 ** |
| Mg (mg/g cr.)                         | 27     | 69.4 | 2.01 | 22   | 42.6 | 6.17    |
| Ca (mg/g cr.)                         | 27     | 111  | 1.69 | 22   | 68.2 | 1.81 ** |
| P (mg/g cr.)                          | 27     | 579  | 1.35 | 22   | 438  | 1.66 *  |
| NTx (nM BCE/nM cr.) §                 | 26     | 33.2 | 17.8 | 20   | 26.0 | 18.9    |

\*  $P<0.05$    \*\*  $P<0.01$

§ : 算術平均、それ以外は幾何平均

## 暴露群、非暴露群間の比較 -65歳以上-

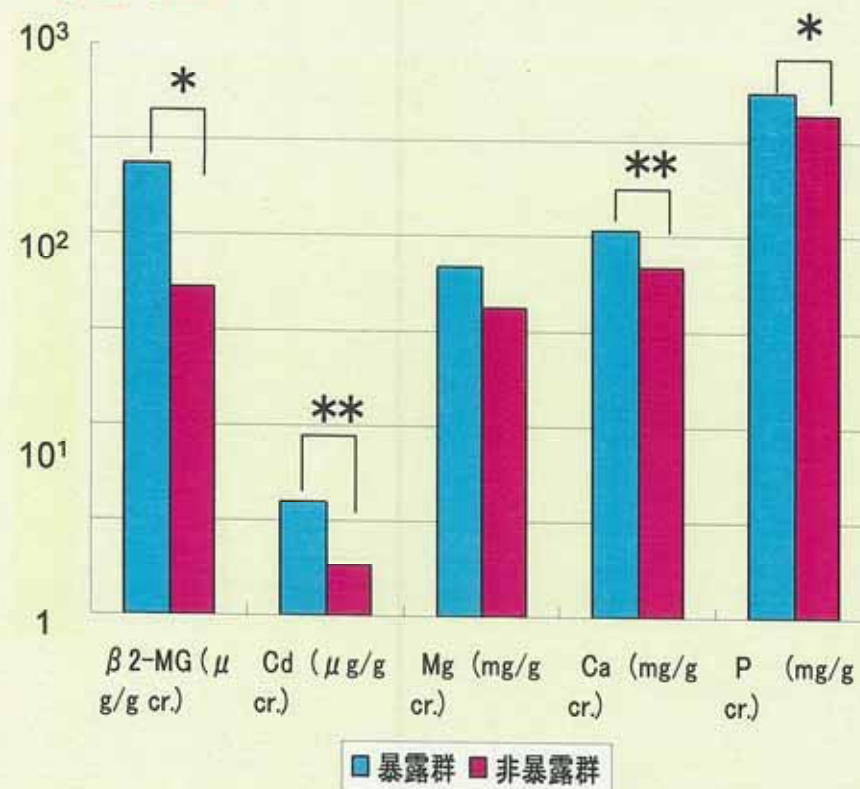
| 女性                                    | Cd-暴露群 |      |      | 非暴露群 |      |         |
|---------------------------------------|--------|------|------|------|------|---------|
|                                       | N      | Mean | S.D. | N    | Mean | S.D.    |
| Age (years) §                         | 34     | 73.4 | 6.19 | 38   | 73.7 | 8.62    |
| $\beta_2$ -MG ( $\mu\text{g/g cr.}$ ) | 34     | 336  | 11.1 | 32   | 229  | 2.81    |
| Cd ( $\mu\text{g/g cr.}$ )            | 34     | 6.03 | 2.37 | 35   | 2.86 | 1.82 ** |
| Mg (mg/g cr.)                         | 34     | 94.7 | 1.76 | 37   | 52.6 | 4.92 *  |
| Ca (mg/g cr.)                         | 34     | 157  | 1.66 | 37   | 109  | 1.79 ** |
| P (mg/g cr.)                          | 34     | 638  | 1.31 | 37   | 552  | 1.56    |
| NTx (nM BCE/nM cr.) §                 | 34     | 73.1 | 39.9 | 35   | 37.3 | 17.2 ** |

\*  $P<0.05$    \*\*  $P<0.01$

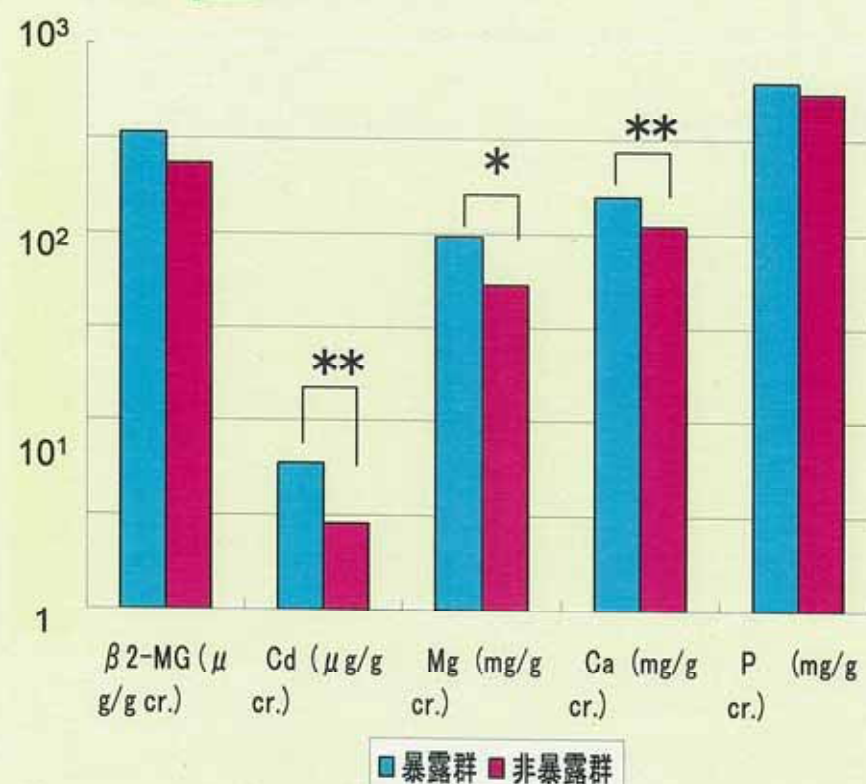
§ : 算術平均, それ以外は幾何平均

## 暴露群、非暴露群間の比較 -65歳以上-

男性



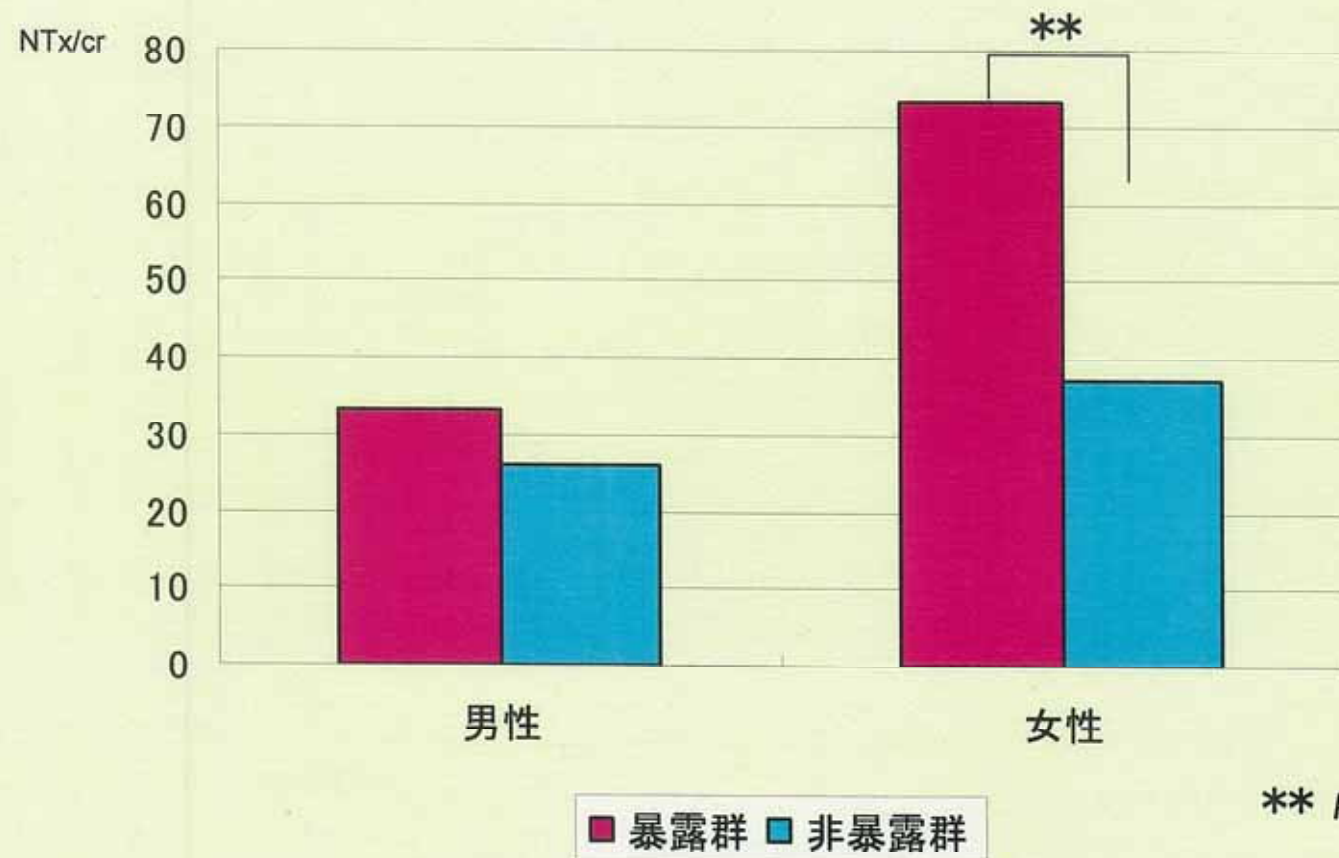
女性



\*  $P < 0.05$    \*\*  $P < 0.01$  幾何平均

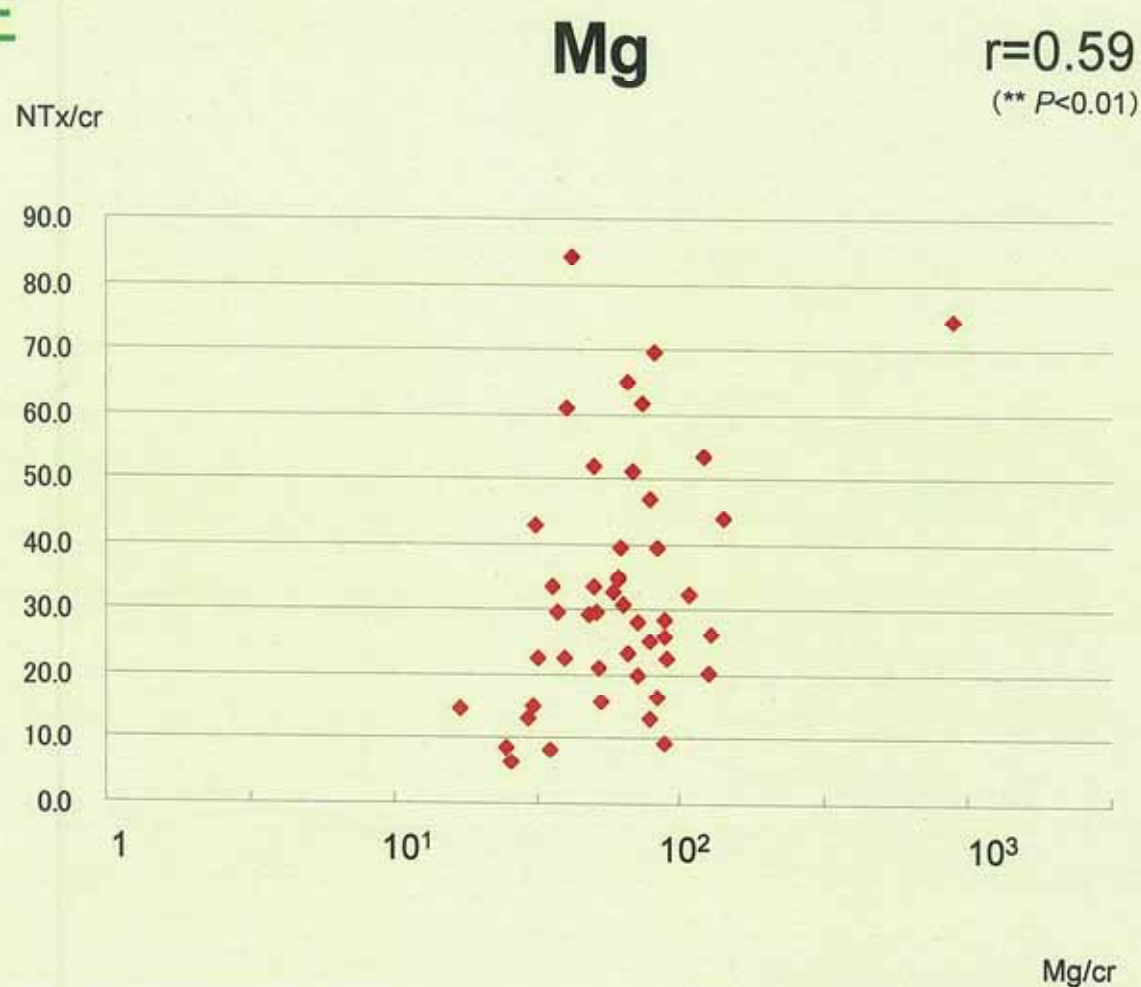
## 暴露群、非暴露群間の比較 -65歳以上-

### NTx男女比較



## NTxとの相関 -Cd汚染地域-

男性



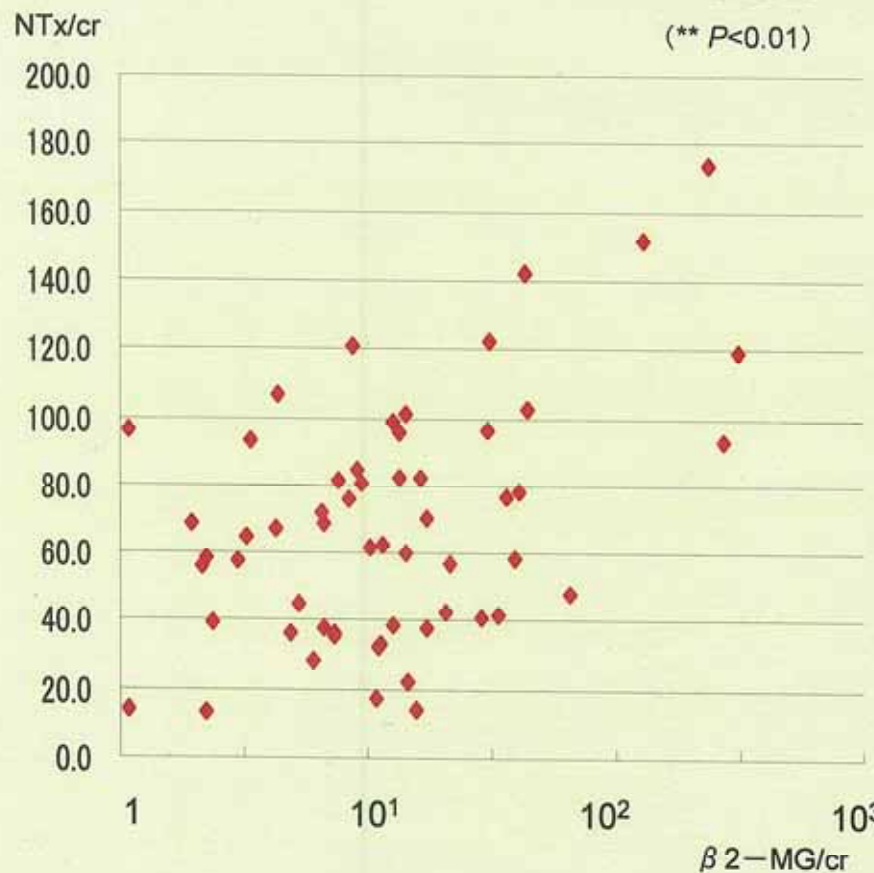
## NTxとの相関 -Cd汚染地域-

女性

$\beta$  2-MG

$r=0.52$

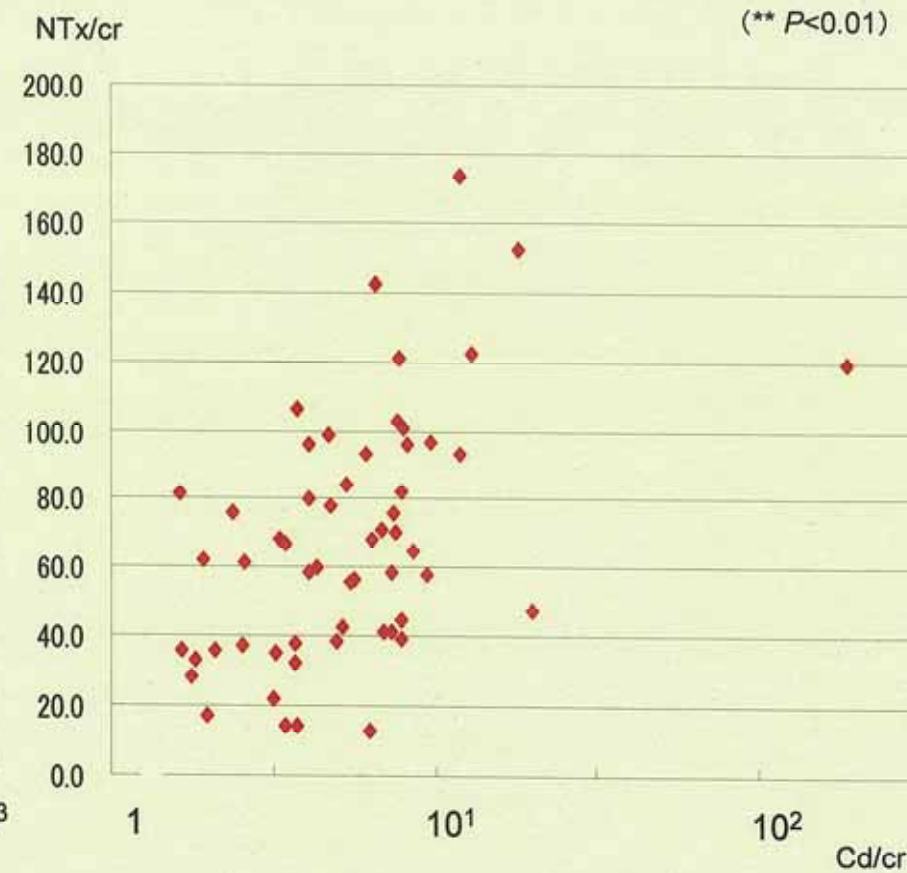
(\*\*  $P<0.01$ )



Cd

$r=0.58$

(\*\*  $P<0.01$ )



## 尿中NTxと生化学指標の関連 -Cd汚染地域-

|                   | 男 性      |          | 女 性               |          |          |
|-------------------|----------|----------|-------------------|----------|----------|
|                   | N        | $\beta$  | N                 | $\beta$  |          |
| Age               | 47       | -0.045   | Age               | 57       | -0.047   |
| log aminoN        | 47       | -0.157   | log aminoN        | 57       | 0.327 .. |
| log NAG           | 47       | 0.043    | log NAG           | 57       | 0.072    |
| log Total Protein | 47       | 0.071    | log Total Protein | 57       | 0.119    |
| log $\beta_2$ -MG | 47       | -0.034   | log $\beta_2$ -MG | 57       | 0.195    |
| log Cu            | 47       | 0.099    | log Cu            | 57       | -0.049   |
| log Cd            | 47       | 0.085    | log Cd            | 57       | 0.339 .. |
| log Mg            | 47       | 0.378 .. | log Mg            | 57       | -0.022   |
| log Ca            | 47       | -0.338   | log Ca            | 57       | 0.144    |
| log P             | 47       | -0.131   | log P             | 57       | 0.106    |
| R                 | 0.378 .. |          | R                 | 0.564 .. |          |

$\beta$  : 標準化回帰係数  
 \*  $P < 0.05$  \*\*  $P < 0.01$

R : 重相関係数

# 結論

⊕ NTxを指標とした骨障害は、Cadmium汚染地

の女性のみ観察

- 汚染地の女性は加齢に伴う骨の再吸収に加えて Cadmiumによる骨障害が進行する可能性が示唆
- 男性の骨への影響は明らかにならなかつた

⊕

Cadmium汚染地では土壤改善後も、長期にわたり健康影響があり、経過観察が必要